

ДЕТЕКТОР NEW CHOD ДЛЯ ЭКСПЕРИМЕНТА NA62 (ЦЕРН)

С. А. Федотов, А. А. Клейменова, А. Н. Хотянецв*

Институт ядерных исследований РАН, Москва

New CHOD — сцинтилляционный годоскоп сегментированной структуры с общим количеством падов, равным 152. Сигнал с каждого пада считывается с помощью спектросмещающих волокон и двумя или четырьмя SensL SiPM с чувствительной областью 3×3 мм. Этот фотодетектор имеет 4774 пикселя, размеры которых 35×35 мкм. Измерены основные параметры (эффективность регистрации фотонов, темновой ток, перекрестные помехи и усиление) для 500 SiPM.

New CHOD is a scintillating hodoscope with a pad structure and a total number of 152 counters. Each pad is read out with WLS fibers and two or four SensL SiPMs with a sensitive area of 3×3 mm. This photosensor has 4774 pixels, each of 35×35 μ m. The main parameters (photon detection efficiency, dark rate, cross-talk, and gain) of 500 SiPMs were measured.

PACS: 29.40.Mc

ЭКСПЕРИМЕНТ NA62

Основной целью эксперимента NA62 [1] является изучение сверхредкого каонного распада ($K^+ \rightarrow \pi^+ \nu \bar{\nu}$). Этот распад сильно подавлен и точно рассчитывается в Стандартной модели, поэтому экспериментальное измерение вероятности распада может позволить как проверить саму Стандартную модель, так и получить данные о новой физике за ее рамками. В настоящее время в эксперименте E949 зарегистрировано семь таких распадов [2, 3], что не позволяет произвести проверку предсказаний Стандартной модели. В эксперименте NA62 планируется достигнуть 10%-й точности измерений. Схема эксперимента представлена на рис. 1.

Установка NA62 состоит из большого количества детекторов. Один из них — годоскоп заряженных частиц (CHOD), обеспечивающий наложение вето на огромное количество мюонных распадов. CHOD имеет сегментированную структуру и состоит из пластиковых сцинтилляторов разного раз-

*E-mail: fedotov@inr.ru

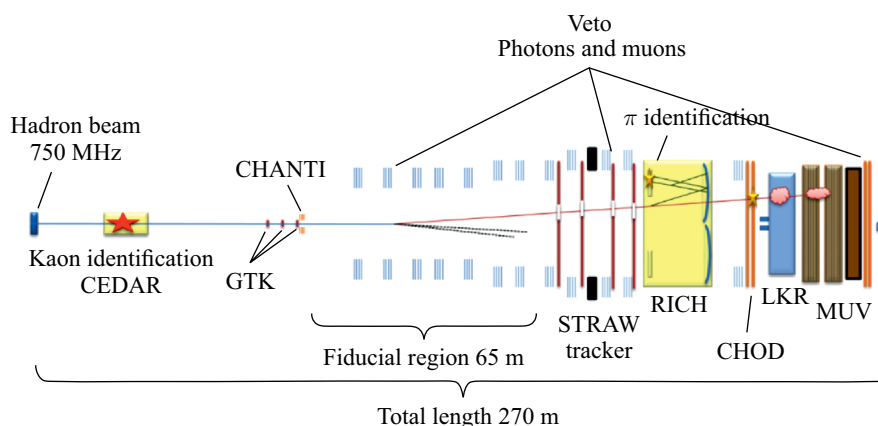


Рис. 1. Схема эксперимента NA62 [3]

мера, охватывающих площадь вокруг пучка. Детектор должен работать в режиме высокой интенсивности с разумной скоростью счета на один канал, а также обеспечивать высокое временное разрешение. Основные задачи годоскопа CHOD — обеспечивать сигнал в нулевом уровне триггерной системы и эффективное вето на возможные взаимодействия в зеркальной области детектора RICH.

ДЕТЕКТОР NEW CHOD

Во время сеансов на каонном пучке был обнаружен ряд проблем, связанных с детектором CHOD. Из-за двухслойной структуры детектора возникла проблема, связанная с корректной работой прошивки детектора. Также CHOD имел сложности, вызванные высокой загрузкой в центральной области детектора. В результате обсуждения было принято решение о создании нового детектора — New CHOD.

СТРУКТУРА ДЕТЕКТОРА NEW CHOD

Основные задачи детектора New CHOD остались теми же. Отличием от старого CHOD (рис. 2, *a*) является его конструкция: вместо двух слоев сцинтилляционных стрипов он имеет однослойную падовую структуру (рис. 2, *b*). Это позволяет решить проблемы, связанные с прошивкой и высокой загрузкой в центральной области детектора.

Детектор New CHOD симметричен относительно оси пучка. Конструкция детектора представляет собой сегментированные сцинтилляторы (пады),

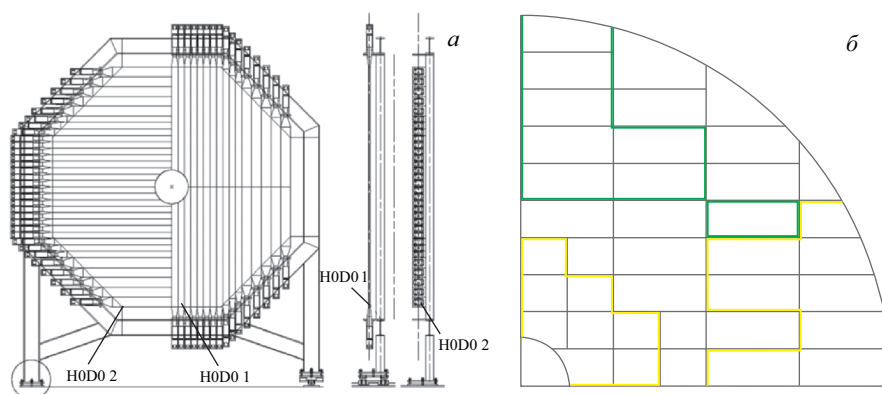


Рис. 2. а) Схема детектора CHOD, обладающего двухслойной стриповой структурой. б) Падовая структура New CHOD, на рисунке представлена 1/4-я часть симметричного относительно оси пучка годоскопа

закрепленные на общем каркасе в один слой. Каркас изготовлен на основе оргстекла, пластика и тонкого алюминия. Сигнал с падов снимается с помощью спектросмещающих (WLS) волокон (Kuraray Y11 [4]). Пады располагаются рядами поочередно с разных сторон каркаса, это уменьшает вероятность перехода сигналов из одного пада в другой и дает возможность вывести WLS-волокна на периферию детектора, где с них снимается сигнал с помощью кремниевых фотоумножителей.

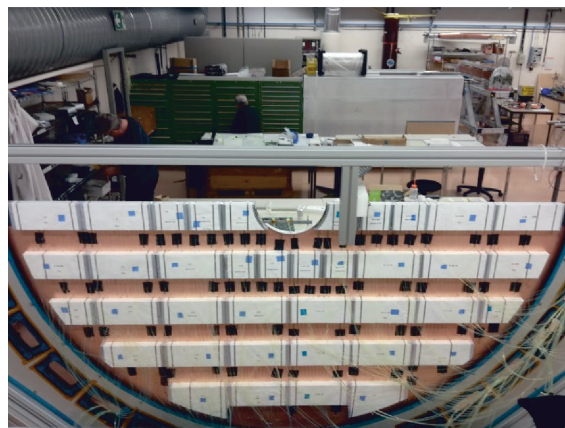


Рис. 3. Нижняя половина детектора New CHOD, готовая к установке на каонный пучок

Для обеспечения одинаковой загрузки на один канал размеры падов различаются. В центральной области, где загрузка максимальна, используются пады размерами $134 \times 108 \times 30$ мм. На периферии детектора, где загрузка значительно меньше, используются пады в два раза большего размера $268 \times 108 \times 30$ мм.

Основными требованиями при создании нового детектора являлись хорошее временное разрешение (порядка 600 нс), а также эффективность регистрации не менее чем 98 % для планируемой загрузки в 30 МГц.

КРЕМНИЕВЫЕ ФОТОУМНОЖИТЕЛИ SensL

В детекторе New CHOD используются SiPM фирмы SensL марки MicroFC-30035-SMT [5]. Перед началом сборки детектора New CHOD было произведено тестирование всех SiPM в количестве 500 шт. Для каждого из них были измерены такие основные параметры, как шум, усиление и относительная эффективность регистрации фотонов (PDE).

Тестирование SiPM проводилось в светоизолированном боксе с контролируемой температурой с использованием зеленого светодиода в качестве источника света (рис. 4).

Рабочее напряжение было установлено 30 В. Планируется, что такое же рабочее напряжение будет использоваться и во время эксперимента. Темновой ток, относительное усиление и уровень перекрестных помех SiPM были определены с использованием темнового спектра фотосенсора. Распределение Пуассона позволяет вычислить эти параметры.

Зеленый светодиод генерирует короткие световые импульсы, которые направляются в монохроматор. В монохроматоре используется длина волны световых импульсов 520 нм, соответствующая длине волны света, распространяющегося по WLS-волокну. Свет, выходя из монохроматора, делится между двумя WLS-волоконными с коэффициентом, примерно равным 1 : 1. Одно

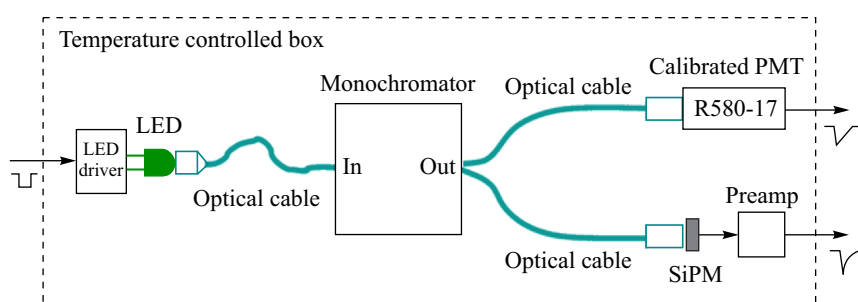


Рис. 4. Схема установки для тестирования SiPM

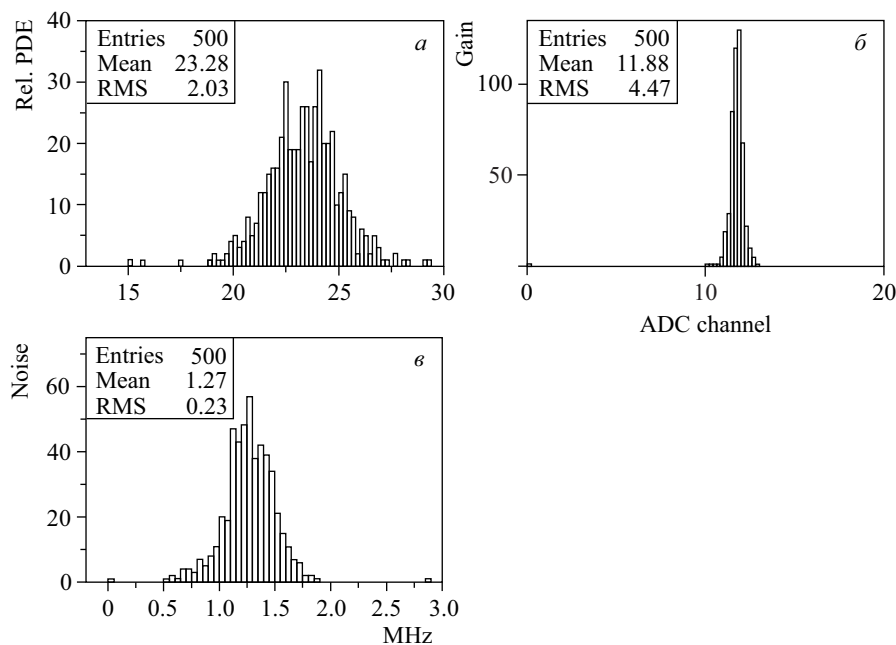


Рис. 5. Гистограммы: а) относительная эффективность, PDE; б) усиление; в) интенсивность шумовых импульсов SiPM MicroFC-30035-SMT

волокно подключено к тестируемому SiPM, а другое — к эталонному фотодетектору. Концы каждого волокна установлены в наконечник с выходным отверстием диаметра 0,5 мм. Эталонный ФЭУ представляет собой откалиброванный Hamamatsu PMT R580-17 с пиком спектральной чувствительности в зеленом диапазоне. Точность спектральной калибровки ФЭУ составляет около 10%. ФЭУ измеряет среднее число фотонов от светодиодных вспышек. Таким образом, мы можем получить абсолютное значение PDE для тестируемых SiPM. В ходе тестов были измерены только относительные значения PDE. Распределения основных измеренных параметров представлены на гистограммах на рис. 5.

ТЕКУЩИЙ СТАТУС ДЕТЕКТОРА NEW CHOD

В настоящее время осуществлена сборка верхней и нижней половин детектора New CHOD, произведена его установка на пучке ускорителя SPS. Детектор New CHOD включен в триггерную систему эксперимента NA62.

На всем протяжении процесса создания детектора выполнялись тесты его составных элементов. Все они работают стабильно, в нормальном режиме с ожидаемыми параметрами.

СПИСОК ЛИТЕРАТУРЫ

1. *NA62 Collab.* NA62 Technical Design Document. NA62-10-07. 2010.
2. *Artamonov A. V. et al. (E949 Collab.)* // Phys. Rev. Lett. 2008. V. 101. P. 191802.
3. *Artamonov A. V. et al. (E949 Collab.)* // Phys. Rev. D. 2009. V. 79. P. 092004.
4. Ltd. Kuraray Co. Scintillating Fiber Products. Tech. Notes. 1994.
5. <http://sensl.com/downloads/ds/DS-MicroCseries.pdf>